

О РЕЖИМАХ РАБОТЫ ХИМИЧЕСКОГО РЕАКТОРА ИДЕАЛЬНОГО ВЫТЕСНЕНИЯ С ИНТЕГРАЛЬНЫМ УЧЕТОМ ТЕПЛОВЫДЕЛЕНИЯ

Ю. П. Гупало, Ю. С. Рязанцев

(Москва)

При математическом описании процессов тепло-и массообмена в проточных химических реакторах обычно используется идеализированная одномерная модель, в которой определяющими уравнениями служат уравнения теплопроводности и диффузии [1,2]. В некоторых случаях эта модель должна быть дополнена уравнением движения смеси реагентов и продуктов реакции в реакторе [3].

Даже при такой простой схематизации процессов в реакторах полное исследование вопросов существования, единственности и устойчивости режимов их работы связано со значительными трудностями, которые еще не преодолены. Поэтому обычно прибегают к дальнейшему упрощению математической модели реактора, вводя дополнительные предположения относительно процессов переноса. В ряде работ [1,2] рассматривались модели реактора идеального вытеснения и полного перемешивания, которые могут служить для описания противоположных предельных случаев проточного реактора, характеризующихся преобладанием конвективного переноса вещества и тепловой энергии над диффузионным (идеальное вытеснение) и, напротив, преобладанием диффузионного переноса над конвективным (полное перемешивание). В работах [4-8] исследовался вопрос о стационарных режимах работы проточного адиабатического реактора в предположении о равенстве коэффициентов диффузии и температуропроводности. В этом предположении было показано [8], что в случае эндотермической реакции всегда существует единственный стационарный режим. В случае экзотермической реакции задача о стационарном режиме также всегда имеет решение, которое, однако, может быть неединственным; была обоснована возможность существования нескольких стационарных режимов, число которых должно быть нечетным. Упрощенные модели применимы к описанию более узких классов реакторов, однако, дают возможность получить более полные результаты, касающиеся вопроса существования, единственности и устойчивости режимов работы таких реакторов, и сделать некоторые качественные выводы общего характера.

Значение этих исследований обусловлено также и тем, что в ряде случаев реальный реактор может быть описан комбинацией простых моделей.

Ниже предлагается и анализируется упрощенная модель химического реактора, применимая в случаях, когда диффузионным переносом вещества в реакторе можно пренебречь по сравнению с конвективным переносом, в то время как теплопроводность настолько велика, что температуру во всех внутренних точках реактора можно считать одинаковой. Таким образом, предлагаемую модель можно рассматривать как комбинацию модели идеального вытеснения для переноса вещества с моделью полного перемешивания для переноса тепловой энергии. Так же как в работе [3], в предлагаемой модели принимается во внимание зависимость вязкости смеси реагентов и продуктов реакции от температуры.

Учет этой зависимости существен в связи с наличием обратной связи между изменениями температуры и гидравлическим сопротивлением реактора. Следует отметить, что, по-видимому, аналогичным образом может быть рассмотрено влияние изменения концентрации реагентов в потоке на устойчивость стационарного режима работы реактора.

Широкой областью применения данной модели может служить, например, описание процессов в химическом реакторе со взвешенным слоем катализатора. Известно, что в условиях псевдоожижения температура во всех внутренних точках реактора практически одинакова [9] вследствие интенсивного переноса тепла частицами катализатора, совершающими быстрое движение как в продольном, так и в поперечном направлении. Процесс же переноса реагентов и продуктов реакции во взвешенном слое в общем случае может быть описан уравнением конвективной диффузии и часто близко соответствует режиму идеального вытеснения [10].

Для рассматриваемой модели, которую естественно назвать моделью реактора идеального вытеснения с интегральным учетом тепловыделения, определены условия существования и число стационарных режимов и установлены критерии их устойчивости. В отличие от модели идеального вытеснения, рассмотренной в работе [3], в данном случае при определенных значениях характеристик реактора оказываются возможными чисто колебательные режимы.

1. Модель реактора. Стационарные режимы. Уравнения массо-теплопереноса в рассматриваемой модели реактора могут быть представлены в виде

$$\rho \frac{\partial \xi}{\partial t} + m \frac{\partial \xi}{\partial x} - \rho f(T) (\xi_m - \xi) = 0 \quad (1.1)$$

$$\rho \frac{dT}{dt} + \frac{\lambda_1}{l} m (T - T_0) - \frac{h}{c} f(T) \left(\xi_m - \frac{1}{l} \int_0^l \xi dx \right) = 0 \quad (1.2)$$

$$\left(\lambda_1 = \frac{\alpha l S}{mcV} + \frac{c_1}{c}, \quad T_0 = \frac{\alpha l S}{mcV\lambda_1} T_0' + \frac{c_1}{c\lambda_1} T_0'' \right)$$

Здесь x — пространственная координата ($0 \leq x \leq l$); l — длина реактора; t — время; ξ — степень продвижения реакции; ξ_m — максимальное значение степени продвижения реакции; m — массовая скорость фильтрации смеси реагентов и продуктов реакции; ρ — плотность смеси; T — температура в реакторе, зависящая только от времени; $f(T)$ — зависимость скорости химической реакции от температуры, во многих случаях описываемая законом Аррениуса; h — теплопотеря реакции; c_1 — теплоемкость смеси; c — суммарная теплоемкость смеси и твердого катализатора; α — коэффициент теплопередачи к боковым стенкам реактора; V, S — объем и боковая поверхность реактора; T_0' — температура окружающей среды; T_0'' — температура поступающей смеси.

Рассматриваются проточные реакторы, в которых диффузионным переносом реагентов по сравнению с конвективным можно пренебречь. В реакторе протекает необратимая химическая реакция первого порядка, сопровождающаяся выделением (поглощением) тепла.

Предполагается, что процессы теплообмена в реакторе проходят достаточно интенсивно, так что градиентами температуры внутри реактора можно пренебречь. С этим предположением связана форма уравнения сохранения тепловой энергии (1.2), которое выражает интегральный баланс тепла в реакторе. Второй член в уравнении (1.2) учитывает теплообмен реактора с внешней средой и различие температур смеси, поступающей в реактор, и смеси, находящейся в реакторе. Третий член учитывает суммарное выделение (поглощение) тепла в реакторе; аналогичным образом учет тепловыделения проводился ранее [11] при рассмотрении химической реакции внутри одиночного зерна катализатора при высоких значениях коэффициента теплопроводности.

Предлагаемая модель реактора предназначена для описания процессов массо-теплопереноса как в проточных реакторах с неподвижным слоем, так и в реакторах со взвешенным слоем катализатора.

Следует отметить, что механизм выравнивания температуры в реакторах с неподвижным слоем и в реакторах со взвешенным слоем различный.

В реакторах с неподвижным слоем интенсивный теплообмен может быть связан с высокой теплопроводностью твердого катализатора. В реакторах со взвешенным слоем механизм выравнивания температуры в первую очередь обусловлен переносом тепла хаотически движущимися внутри слоя твердыми частицами, что почти во всех случаях обеспечивает практически полное выравнивание температуры по всему объему реактора [9].

Будем считать, что фильтрационное течение в реакторе поддерживается перепадом давления P и подчиняется закону Дарси. Тогда уравнение движения смеси можно записать в виде

$$m = \frac{kP}{vl} \quad (1.3)$$

Здесь $\nu = \nu(T)$ — кинематическая вязкость смеси, k — проницаемость.

Дополним уравнение (1.1), (1.2) граничным условием в виде

$$\xi(0, t) = 0 \quad (1.4)$$

Для определения стационарных режимов работы реактора сначала проинтегрируем уравнение (1.1) при $\partial/\partial t = 0$ с граничным условием (1.4). В результате получим стационарное распределение степени продвижения реакции $\xi^*(x)$, соответствующее стационарной температуре в реакторе T^*

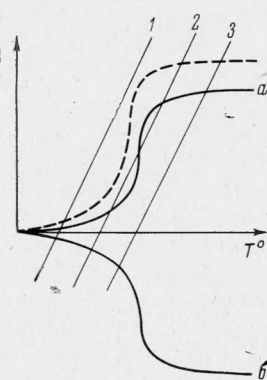
$$\frac{\xi^*(x)}{\xi_m} = 1 - \exp\left(-\frac{\rho f(T^*)}{m^*} x\right) \quad (1.5)$$

После подстановки распределения (1.5) в уравнение (1.2) при $d/dt = 0$ получим для определения стационарной температуры T^* алгебраическое уравнение

$$\lambda_1(T^* - T_0) = \frac{h}{pc} \xi^*(l) \quad (1.6)$$

Задача о числе стационарных режимов для рассматриваемой модели реактора сводится к анализу числа решений уравнения (1.6). Стационарные значения температуры соответствуют абсциссам точек пересечения кривых тепловыделения (правая часть уравнения (1.6)) и теплоотвода (левая часть (1.6)).

Функция $f(T)$ является функцией аррениусовского типа, представляет собой монотонно возрастающую функцию, имеет горизонтальную асимптоту и точку перегиба, кроме того, $f(0) = 0$. Функция $\nu(T)$ — монотонно возрастающая в случае реакций в газовой фазе и убывающая в случае реакций в жидкой фазе. Исходя из этих общих свойств функций $f(T)$ и $\nu(T)$ и учитывая формулы (1.3) и (1.5), можно заключить, что кривые тепловыделения имеют вид кривых a , b на фиг. 1 (кривая a соответствует случаю экзотермической реакции, b — эндотермической реакции). Кривые теплоотвода (кривые 1—3 на фиг. 1) проходят через точки $(T_0, 0)$ и имеют по меньшей мере по одному пересечению с кривыми тепловыделения. Следовательно, стационарные режимы работы реактора всегда существуют.



Фиг. 1

В случае экзотермической реакции при разных значениях температуры T_0 может существовать как один (пересечения кривых 1, 3 с кривой a), так и несколько стационарных режимов (пересечения кривой 2 с кривой a). В случае же эндотермической реакции всегда существует единственный стационарный режим (пересечение кривых 1—3 с кривой b). Можно видеть также, что наличие одного или нескольких стационарных режимов при экзотермической реакции может быть обусловлено изменением коэффициента теплопередачи и геометрии реактора, скорости потока реагентов и т. д. Здесь следует подчеркнуть влияние зависимости вязкости смеси от температуры в реакторе; в частности, обычно используемое предположение о постоянстве вязкости приводит к сдвигу кривой тепловыделения (см. пунктир на фиг. 1), что может привести к неверному заключению о числе стационарных режимов.

2. Устойчивость стационарного режима. Для анализа устойчивости стационарного режима работы реактора применим метод малых возмущений. Представив функции $T(t)$, $\xi(x, t)$, $m(t)$, $P(t)$ в виде $q = q^\circ + \delta q$ и линеаризовав систему уравнений (1.1), (1.2), с учетом выражений (1.5), (1.6), получим уравнения для малых возмущений

$$\frac{\partial \delta \xi}{\partial t} + d_{11} \delta \xi + d_{12} \frac{\partial \delta \xi}{\partial x} + d_{13}(x) \delta T + d_{14}(x) \delta P = 0 \quad (2.1)$$

$$\frac{d \delta T}{dt} + d_{21} \delta T + d_{22} \int_0^l \delta \xi dx + d_{23} \delta P = 0 \quad (2.2)$$

$$\delta \xi(0, t) = 0 \quad (2.3)$$

Здесь

$$d_{11} = f(T^\circ), \quad d_{13}(x) = -(\xi_m - \xi^\circ) f(T^\circ) \frac{d}{dT^\circ} \ln [v(T^\circ) f(T^\circ)]$$

$$d_{12} = \frac{m^\circ}{\rho}, \quad d_{14}(x) = (\xi_m - \xi^\circ) \frac{f(T^\circ)}{P^\circ}, \quad d_{22} = \frac{h f(T^\circ)}{\rho c l}$$

$$d_{21} = \lambda_1 \frac{m^\circ}{\rho l} \{1 - (T^\circ - T_0) \frac{d}{dT_0} \ln [v(T^\circ) f(T^\circ)]\}$$

$$d_{23} = \lambda_1 (T^\circ - T_0) \frac{m^\circ}{\rho l P^\circ}$$

Случай одновременного учета термомеханических явлений, связанных с зависимостью вязкости от температуры, и неадиабатичности реактора здесь и в дальнейшем из рассмотрения исключен. Это позволяет сократить выкладки, так как тогда $\lambda_1 = \text{const}$, $T_0 = \text{const}$. Заметим, что общий случай не вызывает затруднений принципиального характера.

Будем считать, что возмущения стационарного режима обусловлены изменением перепада давления, степени продвижения реакции и температуры

$$\delta P = \begin{cases} 0 & (t < 0) \\ P_0 \exp(-\sigma_0 t) & (t > 0, \operatorname{Re} \sigma_0 > 0) \end{cases} \quad (2.4)$$

$$\delta \xi(x, 0) = \eta_1(x), \quad \delta T(0) = \eta_2$$

Здесь функция $\eta_1(x)$ и постоянная η_2 произвольны.

Решение задачи (2.1) — (2.4) найдем методом преобразования Лапласа, введя для $\delta P(t)$, $\delta \xi(x, t)$ и $\delta T(t)$ изображения по формуле

$$\delta q^*(\sigma) = \int_0^\infty \exp(-\sigma t) \delta q dt$$

Из (2.1) — (2.4) после преобразования Лапласа получим

$$(\sigma + d_{11}) \delta \xi^* + d_{12} \frac{d \delta \xi^*}{dx} + d_{13}(x) \delta T^* + d_{14}(x) \frac{P_0}{\sigma + \sigma_0} - \eta_1(x) = 0 \quad (2.5)$$

$$(\sigma + d_{21}) \delta T^* + d_{22} \int_0^l \delta \xi^* dx + d_{23} \frac{P_0}{\sigma + \sigma_0} - \eta_2 = 0 \quad (2.6)$$

$$\delta \xi^*(0, \sigma) = 0 \quad (2.7)$$

При решении задачи (2.5) — (2.7) сначала проинтегрируем уравнение (2.5) с условием (2.7), имея в виду, что величина δT^* не зависит от x . Получим

$$\begin{aligned}\delta\xi^* &= J(\eta_1(x)) - \frac{P_0}{\sigma + s_0} J(d_{14}(x)) - \delta T^* J(d_{13}(x)) \\ J(q(x)) &= \frac{1}{d_{12}} \exp\left(-\frac{\sigma + d_{11}}{d_{12}}\right) \int_0^x \exp\left(\frac{\sigma + d_{11}}{d_{12}} x\right) q(x) dx\end{aligned}$$

Подставив в этот результат выражение для δT^* из (2.6), получим уравнение относительно $\delta\xi^*$, которое имеет вид

$$\begin{aligned}\delta\xi^* &= J(\eta_1) + \frac{d_{13}}{\sigma(\sigma + d_{21})} \left[1 - \exp\left(-\frac{\sigma x}{d_{12}}\right) \right] \left[d_{22} \int_0^l \delta\xi^* dx - \right. \\ &\quad \left. - \eta_2 + \left(d_{23} - \frac{d_{14}d_{21} + d_{14}\sigma}{d_{13}} \right) \frac{P_0}{\sigma + s_0} \right] \quad (2.8)\end{aligned}$$

Проинтегрировав обе части этого уравнения по x от 0 до l , найдем величину интеграла

$$\int_0^l \delta\xi^* dx$$

Затем при помощи (2.6) и (2.8) получим выражения для δT^* и $\delta\xi^*$, которые могут быть записаны в виде

$$\begin{aligned}\delta T^* &= \lambda_2 \left(\frac{d}{dT^\circ} \ln vf \right)^{-1} \left[\frac{P_0}{f P^\circ} \frac{1}{s + s_0} - \frac{1}{\xi_m} I(s) \frac{s + \lambda_2}{(s + s_0) \psi(s)} \right] \\ \delta\xi^* &= J(\eta_1) - \lambda_2^2 J(s) \exp\left(-\frac{\lambda_2 x}{l}\right) \left[1 - \exp\left(-\frac{sx}{l}\right) \right] \frac{s + \lambda_2}{s(s + s_0) \psi(s)} \quad (2.9)\end{aligned}$$

Здесь

$$\begin{aligned}I(s) &= (s + s_0) \lambda_3 \frac{1}{l} \int_0^l J(\eta_1(x)) dx - \\ &- (s + s_0) \eta_2 \frac{\xi_m}{f(T^\circ)} \frac{d}{dT^\circ} \ln vf + (s + \lambda_1) \frac{\xi_m P_0}{f P^\circ}, \quad s = \frac{\sigma l}{m^\circ} \\ \psi(s) &= s^2 + \omega_3 s - \omega_1 + \omega_2 \frac{1 - e^{-s}}{s} \quad (2.10)\end{aligned}$$

$$\omega_1 = -\lambda_1 \lambda_2, \quad \omega_2 = -\lambda_2^2 \lambda_3 e^{-\lambda_2}, \quad \omega_3 = \lambda_1 + \lambda_2 - \lambda_3 (1 - e^{-\lambda_2}) \quad (2.11)$$

$$\lambda_1 = \frac{l \alpha S}{V m^\circ c} + \frac{c_1}{c}, \quad \lambda_2 = \frac{\rho f(T^\circ) l}{m^\circ}, \quad \lambda_3 = \frac{h \xi_m}{\rho c} \frac{d}{dT^\circ} \ln vf \quad (2.12)$$

Переход от изображений по Лапласу (2.9) к оригиналам несложен, так как все особенности функций (2.9) — полюса. Если все полюса функций (2.9) располагаются в комплексной плоскости левее мнимой оси, то возмущения стационарного режима затухают со временем, и режим устойчивый. В противном случае режим неустойчивый. Полюса функций (2.9) располагаются в точке $s = -s_0$ и нулях определяемой формулой (2.10) функции $\psi(s)$ (точка $s = 0$ не является полюсом).

Таким образом, анализ устойчивости стационарных режимов сводится к исследованию расположения нулей функции $\psi(s)$ на комплексной плоскости. При решении вопроса о корнях уравнения $\psi(s) = 0$, имеющих положительную действительную часть, воспользуемся принципом аргумента, согласно которому число нулей функции $\psi(s)$ внутри области, ограниченной замкнутым контуром Γ , на котором $\psi(s) \neq 0$, равно приращению аргумента функции $\psi(s)$ при обходе контура Γ , деленному на 2π .

В качестве контура Γ выберем контур $\Gamma_1 + \Gamma_2$, составленный из правой полуокружности радиуса R с центром в начале координат (Γ_1) и отрезка оси ординат, заключенного между точками $(0, R)$ и $(0, -R)$. Если на мнимой оси окажутся нули функции $\psi(s)$, то контур Γ_2 составим из отрезков оси ординат и правых полуокружностей малого радиуса r с центрами, помещенными в чисто мнимые нули функции $\psi(s)$. Затем перейдем к пределу при $R \rightarrow \infty$, $r \rightarrow 0$.

Анализ показывает, что приращение аргумента функции $\psi(s)$ на Γ_1 при $R \rightarrow \infty$ не зависит от значений ω и равно 2π .

При вычислении приращения аргумента $\psi(s)$ на конутре Γ_2 определим сначала значения ω , при которых функция $\psi(s)$ имеет чисто мнимые нули. Из (2.10) следует, что функция $\psi(s)$ имеет чисто мнимые нули, когда значения параметров ω_1 , ω_2 и ω_3 располагаются на поверхности в пространстве ω_1 , ω_2 , ω_3 , определяемой уравнениями

$$\omega_1 = -y^2 + \omega_3 \frac{y \sin y}{1 - \cos y}, \quad \omega_2 = \omega_3 \frac{y^2}{1 - \cos y} \quad (0 \leqslant y < \infty) \quad (2.13)$$

Поверхность (2.13) состоит из бесконечного числа листов, соответствующих следующим областям изменения y :

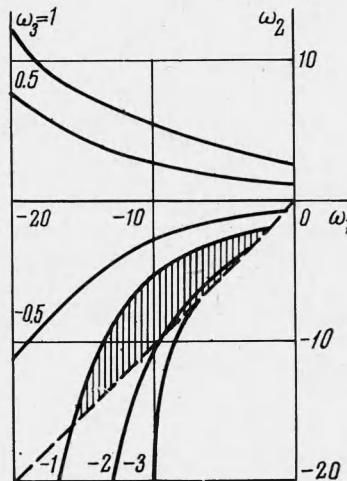
$$2\pi n \leqslant y < 2\pi(n+1) \quad (n = 0, 1, 2, \dots)$$

Как будет видно из дальнейшего, интерес представляет лишь ближайший к плоскости $\omega_2 = 0$ лист поверхности (2.13), соответствующий интервалу $0 \leqslant y < 2\pi$.

В дальнейшем для краткости будем называть его «первым листом». При $\omega_3 > 0$ он располагается в области $\omega_2 > 0$, при $\omega_3 < 0$ — в области $\omega_2 < 0$. Кривые пересечения первого листа с плоскостями $\omega_3 = \text{const}$ показаны на фиг. 2 для области $\omega_1 < 0$ (область $\omega_1 > 0$, как видно из формул (2.11), (2.12), физического смысла не имеет).

Методом, аналогичным изложенному в работе [3], можно показать что в области $\omega_1 > \omega_2$ приращение аргумента функции $\psi(s)$ на контуре Γ_2 при $R \rightarrow \infty$ равно 2π . Следовательно, в области $\omega_1 > \omega_2$ функция $\psi(s)$ имеет два корня в правой полуплоскости, и соответствующий стационарный режим неустойчивый. Можно показать также, что в области, заключенной между первым листом поверхности (2.13) и плоскостью $\omega_1 = \omega_2$ приращение $\Delta_2 \arg \psi(s) = -2\pi$, и стационарный режим устойчивый. В остальной части пространства ω_1 , ω_2 , ω_3 стационарный режим вновь оказывается неустойчивым.

Таким образом, область устойчивости заключена между первым листом поверхности (2.13) и плоскостью $\omega_2 = \omega_1$. Сечения области устой-



Фиг. 2

чности плоскостями $\omega_3 = \text{const}$ неограничены при $\omega_3 \geq 0$ и ограничены при $\omega_3 < 0$ (см. фиг. 2). Для наглядности на фиг. 2 заштриховано сечение области устойчивости плоскостью $\omega_3 = -1$. Эти сечения уменьшаются с уменьшением ω_3 и при $\omega_3 = -3$ оно стягивается в точку с координатами $(-6, -6, -3)$.

Далее можно показать, что на границе области устойчивости режим нейтрально устойчив, причем на той части границы, которая образована первым листом поверхности (2.13), возмущения стационарного режима имеют характер нейтральных колебаний с ненулевой частотой. Необходимо отметить, что не все точки $(\lambda_1, \lambda_2, \omega_3)$ имеют физический смысл, т. е. соответствуют некоторым значениям $\lambda_1, \lambda_2, \lambda_3$. Рассмотрим поэтому условия устойчивости в параметрах λ . Воспользовавшись формулами (2.11), можно показать, что стационарный режим неустойчивый в области

$$\lambda_3 > \inf [\lambda_3^{(1)}(\lambda_2, \lambda_1), \lambda_3^{(2)}(\lambda_2, \lambda_1)] \quad (2.14)$$

и устойчивый в области

$$\lambda_3 < \inf [\lambda_3^{(1)}(\lambda_2, \lambda_1), \lambda_3^{(3)}(\lambda_2, \lambda_1)] \quad (2.15)$$

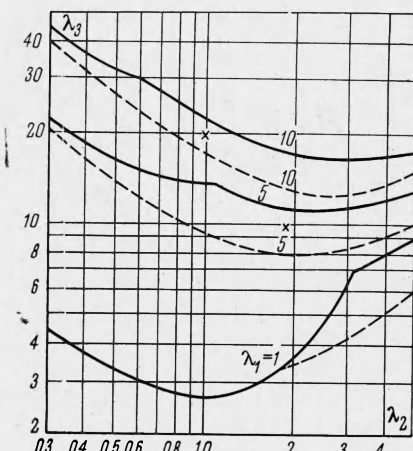
Здесь

$$\lambda_3^{(1)} = \frac{\lambda_1}{\lambda_2} \exp \lambda_2, \quad \lambda_3^{(2)} = \frac{\lambda_1 + \lambda_2 + 3}{1 - \exp(-\lambda_2)}, \quad \lambda_3^{(3)} = \frac{\lambda_1 + \lambda_2}{1 - \exp(-\lambda_2)}$$

Расположение областей устойчивости и неустойчивости в плоскости λ_2, λ_3 при разных значениях λ_1 показано на фиг. 3. Здесь области неустойчивости располагаются выше сплошных кривых (условие (2.14)), устойчивости — ниже пунктирных кривых (условие (2.15)). Можно показать при помощи формул (1.6) и (2.12), что условию неустойчивости $\lambda_3 >$

$> \lambda_3^{(1)}$, вытекающему из условия (2.14), соответствует случай, когда угол наклона кривой теплоотвода к оси абсцисс в точке пересечения этой кривой с кривой тепловыделения (см. фиг. 1), большие угла наклона кривой тепловыделения в этой точке. Отсюда следует, что при наличии трех стационарных режимов средний всегда будет неустойчивым. Этот вывод можно получить также и из чисто физических соображений; он соответствует аналогичному выводу для случая реактора полного смещения.

Из фиг. 3 видно, что между областями неустойчивости и устойчивости располагается область, которая не удовлетворяет ни одному из условий (2.14) и (2.15). Вопрос об



Фиг. 3

устойчивости стационарного режима при значениях λ , принадлежащих этой области, проще всего можно решить путем вычисления значений ω по формулам (2.11) и последующего использования условий устойчивости в параметрах ω .

Отметим, что некоторым значениям λ соответствуют чисто колебательные возмущения стационарного режима работы реактора. В качестве примера приведем значения $\lambda_1 = 1$, $\lambda_2 = 9.87$; $\lambda_3 = 10.9$, {5, 1.97, 9.35} и {10, 0.987, 19.8}, отмеченные крестиками на фиг. 3.

Таким образом, установлено, что среди стационарных режимов работы химического реактора, математическое описание которого дается уравнениями (1.1), (1.2), также как и в случае модели реактора, рассмотренной в работе [3], имеются устойчивые, неустойчивые и нейтральные режимы. Некоторые нейтральные режимы в модели реактора с интегральным учетом тепловыделения являются колебательными. Можно ожидать, что при рассмотрении более общей модели реактора, в которой будут учтены продольное перемешивание, реакции со сложной кинетикой и т. д., встретятся стационарные режимы всех исследованных выше типов.

Поступила 30 X 68

ЛИТЕРАТУРА

- Франк - Каменецкий Д. А. Диффузия и теплопередача в химической кинетике, Изд. 2, М., «Наука», 1967.
- Арис Р. Анализ процессов в химических реакторах. Л., «Химия», 1967.
- Гупало Ю. П., Рязанцев Ю. С. О термомеханической неустойчивости стационарного режима работы проточного химического реактора с неподвижным слоем катализатора. Изв. АН СССР, МЖГ, 1968, № 2.
- Van Heerden C. The character of the stationary state of exothermic processes. Chem. Engng Sci., 1958, vol. 8, No. 1.
- Бесков В. С., Кузин В. А., Слиняков М. Г. Моделирование химических процессов в неподвижном слое катализатора. Хим. пром-сть, 1965, № 1.
- Gavalas R. G. On the steady states of distributed parameter systems with chemical reactions, heat and mass transfer. Chem. Engng Sci., 1966, vol. 21, N 6/7, p. 477.
- Luss D., Edmundson N. R. Uniqueness of the steady state solutions for chemical reaction occurring in a catalyst particle or in a tubular reactor with axial diffusion. Chem. Engng Sci., 1967, vol. 22, No. 3.
- Гупало Ю. П., Рязанцев Ю. С. О стационарных режимах работы проточного адиабатического химического реактора. ПМТФ, 1967, № 5.
- Забродский С. С. Гидродинамика и теплообмен в псевдоожиженном (кипящем) слое. М.—Л., Госэнергоиздат, 1963.
- Дэвидсон И. Ф., Харрисон Д. Псевдоожижение твердых частиц. М., «Химия», 1965.
- Edmundson N. R., Raymond L. R. Stability in distributed parameter systems. A. I. Ch.E. Journal, 1965, vol. 11, No. 2.